

## ТУРБУЛЕНТНЫЙ ПОГРАНИЧНЫЙ СЛОЙ ПЛОСКОЙ ПЛАСТИНЫ

Г. Л. Гродзовский (Москва)

Ряд известных расчетных формул для коэффициента сопротивления турбулентного трения  $C_f$  пластины выведен на основе логарифмического закона Прандтля для профиля скорости  $u$  в пограничном слое, который хорошо совпадает с результатами измерения в трубах. Однако при обтекании плоской пластины логарифмический профиль не совпадает с экспериментальным для внешней части пограничного слоя [1].

ля определения формы профиля скорости вблизи границы пограничного слоя применим метод, используемый при решении задач свободной турбулентности. Условие подобия скоростей запишем в виде

$$\frac{u}{u_0} = f\left(\frac{y}{\delta_*}\right) = f(\eta) \quad (\delta_* = \delta_*(x) = \int_0^x \left(1 - \frac{u}{u_0}\right) dy) \quad (1)$$

Здесь  $\delta_*$  — толщина вытеснения. Вводим функцию тока  $\psi$  следующим образом (коэффициент  $A$  будет выбран ниже):

$$\psi = A\delta_* F(\eta), \quad u = \frac{\partial \psi}{\partial y} = AF', \quad v = -\frac{\partial \psi}{\partial x} = A\delta_*' x (F'\eta - F) \quad (2)$$

(Производные по  $x$  будем обозначать штрихом с индексом  $x$  внизу, производные по  $\eta$  штрихом без индекса).

Уравнение движения (пренебрегая вязкостью) представим в виде

$$\frac{1}{\rho} \frac{\partial \tau}{\partial y} = -A^2 \delta_*' x F'' F \quad (3)$$

Выражение для касательного напряжения турбулентного трения  $\tau$  принимаем по Прандтлю (при этом получается простое аналитическое решение) [2]

$$\tau = \rho l^2 \left( \frac{\partial u}{\partial y} \right)^2 \quad (4)$$

( $l$  — путь смешения)

Из условия подобия профиля скорости (1) следует необходимость существования зависимости

$$\frac{l}{\delta_*} \sqrt{\delta_*'} = \Phi(\eta) \quad (5)$$

где  $\Phi(\eta)$  — некоторая функция от  $\eta$ , не зависящая (при условии подобия профиля скорости) от числа Рейнольдса  $R_x$  (см. также [3]). Такая зависимость была обнаружена экспериментально Никурадзе [1].

Согласно (3) — (5) уравнение для  $F(\eta)$  будет иметь вид

$$-FF'' = \frac{d}{d\eta} [\Phi(\eta) F'']^2 \quad (6)$$

Вблизи границы пограничного слоя профиль скорости можно определить, принимая, как и в задачах свободной турбулентности  $\Phi(\eta) = \text{const}$ . При  $\Phi(\eta) = k$  уравнение (6) совпадает с известным уравнением для турбулентного размывания свободной границы плоского потока (см., например, [4])

$$F + 2k^2 F''' = 0 \quad \text{или} \quad F + \frac{d^3 F}{d\eta_*^3} = 0 \quad (7)$$

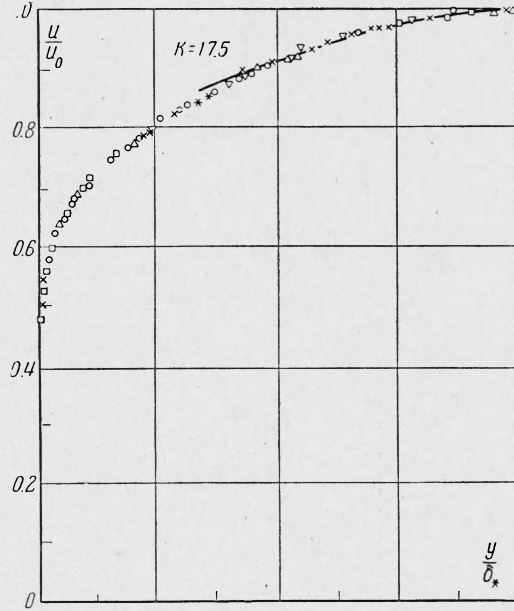
Здесь

$$\eta_* = \alpha_1 (\eta - \eta_\Gamma) \quad (\alpha_1 = (2k^2)^{-1/3}) \quad (8)$$

где  $\eta_\Gamma$  соответствует внешней границе, т. е. толщине пограничного слоя.

Решение уравнения (7) будет следующее:

$$F = c_1 e^{-\eta_*} + e^{\eta_*/2} \left( c_2 \cos \frac{\sqrt{3}}{2} \eta_* + c_3 \sin \frac{\sqrt{3}}{2} \eta_* \right) \quad (9)$$



Фиг. 1

В выражении (2) принимаем  $A = u_0 / \alpha_1$ ; при этом

$$\frac{u}{u_0} = -c_1 e^{-\eta_*} + \frac{1}{2} e^{\eta_*/2} \left( c_2 \cos \frac{\sqrt{3}}{2} \eta_* + c_3 \sin \frac{\sqrt{3}}{2} \eta_* \right) + \\ + \frac{\sqrt{3}}{2} e^{\eta_*/2} \left( -c_2 \sin \frac{\sqrt{3}}{2} \eta_* + c_3 \cos \frac{\sqrt{3}}{2} \eta_* \right) \quad (10)$$

Для определения трех постоянных интегрирования и связи  $\eta_\Gamma$  с экспериментальной константой  $k$  воспользуемся следующими четырьмя граничными условиями

$$1) \quad u = u_0, \quad \text{или } F' = 1.0 \quad \text{при } \eta_* = 0$$

$$2) \quad \frac{du}{dy} = 0, \quad \text{или } F'' = 0 \quad \text{при } \eta_* = 0$$

$$3) \quad v = 0, \quad \text{или } F = 0 \quad \text{при } \eta = 0, \quad \eta_* = -\alpha_1 \eta_\Gamma$$

$$(4) \quad \delta_* = \int_0^\delta \left( 1 - \frac{u}{u_0} \right) dy, \quad \alpha_1 = \int_{-\alpha_1 \eta_\Gamma}^0 (1 - F') d\eta_*$$

Отсюда  $F = \alpha_1 \eta_\Gamma - \alpha_1$  при  $\eta_* = 0$  или  $v_\Gamma / u_0 = \delta_{**}$ . В результате получим

$$c_1 = \frac{1}{3} (\alpha_1 \eta_\Gamma - \alpha_1 - 1), \quad c_2 = \frac{1}{3} + \frac{2}{3} (\alpha_1 \eta_\Gamma - \alpha_1), \quad c_3 = \frac{1}{\sqrt{3}} \quad (11)$$

$$\alpha_1 = \frac{(1 - \alpha_1 \eta_\Gamma) \exp(3\alpha_1 \eta_\Gamma / 2) + \sqrt{3} \sin(\sqrt{3} \alpha_1 \eta_\Gamma / 2) - (1 + 2\alpha_1 \eta_\Gamma) \cos(\sqrt{3} \alpha_1 \eta_\Gamma / 2)}{-2 \cos(\sqrt{3} \alpha_1 \eta_\Gamma / 2) - \exp(3\alpha_1 \eta_\Gamma / 2)} \quad (12)$$

По опытам [1] вблизи границы пограничного слоя  $k \approx 17.5$ . На фиг. 1 приведено сопоставление экспериментальных профилей скорости (для значений числа Рейнольдса  $R_x$  от  $1.67 \cdot 10^6$  до  $17.9 \cdot 10^6$ ) с расчетным при  $k = 17.5$ , расчетный профиль хорошо согласуется с экспериментом на участке пограничного слоя от внешней границы примерно до середины толщины пограничного слоя.

Определим соотношение полученных значений экспериментальной константы  $k$  и значений констант, определенных в задачах свободной турбулентности. Для сравнения рассмотрим, в каких пределах изменяется константа  $\gamma = l/\delta$ , представляющая собой отношение пути смещения к толщине пограничного слоя, в случае обтекания пластины и в задачах свободной турбулентности.

Для пластины имеют место следующие соотношения:

$$\gamma = \frac{l}{\delta} = \frac{k \sqrt{\delta'_{xx}}}{\eta_\Gamma}$$

$$\delta'_{xx} = \frac{C_f \delta_*}{2 \delta_{**}} = 0.66 C_f$$

Фиг. 2

При изменении значений коэффициента трения  $C_f$  от 0.002 до 0.004 экспериментальная константа  $\gamma$  по опытам на пластине будет изменяться от 0.069 до 0.098.

В случае турбулентного размывания свободной границы плоского потока константа  $\gamma$  связана с константой свободной турбулентности  $a$  соотношением (см., например, [2])

$$\gamma = \frac{l}{\delta} = \frac{\sqrt{a}}{4.27}$$

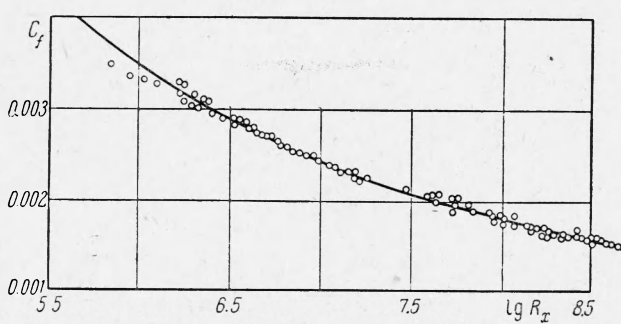
где  $a$  по экспериментальным данным [2, 3] изменяется от 0.0825 до 0.12 и соответственно величина  $\gamma$  изменяется от 0.068 до 0.081.

Таким образом, диапазон изменения  $\gamma$  в случае обтекания пластины и для задач свободной турбулентности практически совпадает.

Для данных фиг. 1 отношения основных кинематических параметров внешней части турбулентного пограничного слоя пластины были равны

$$\frac{\delta_*}{\delta_{**}} = 1.32, \quad \frac{\delta_*}{\delta_p} = 0.143 \quad \left( \delta_{**} = \int_0^\delta \frac{u}{u_0} \left( 1 - \frac{u}{u_0} \right) dy \right) \quad (13)$$

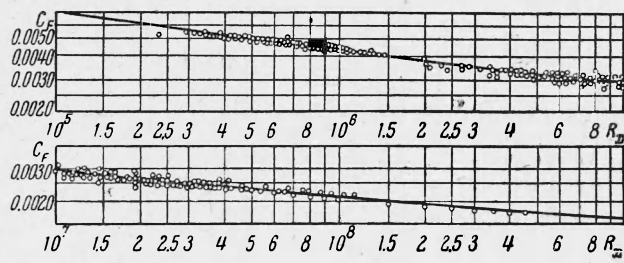
Здесь  $\delta_{**}$  — толщина потерь импульса.



Используя рассмотренные характеристики внешней части пограничного слоя и характеристики логарифмического профиля для внутренней части слоя (непосредственно вблизи пластины), можно получить следующие приближенные формулы для расчета местного  $C_f$  и полного  $C_F$  коэффициентов трения пластины в зависимости от числа Рейнольдса

$$C_f \approx \frac{0.0905}{(\lg 0.125 R_x)^2} \quad (14)$$

$$C_F \approx \frac{0.0905}{(\lg 0.0355 R_x)^2}$$



Фиг. 3

Из фиг. 2 и 3 следует, что приведенные формулы (сплошные кривые) хорошо согласуются с результатами экспериментов для значений числа  $R_x$  от  $0.23 \cdot 10^6$  до  $435.0 \times 10^6$ .

Поступила 24 II 1962

## ЛИТЕРАТУРА

1. Nikuradse J. Turbulente Reibungsschichten an der Platte. Herausgegeben von ZWB der Lftf.— Forsch. 1942.
2. Абрамович Г. Н. Турбулентные свободные струи жидкостей и газов. Госэнергоиздат, 1948.
3. Goldstein S. Modern developments in fluid dynamics. London, 1943.
4. Лойцянский Л. Г. Аэродинамика пограничного слоя. ГИТГЛ, 1941.

## ОБ УСТОЙЧИВОСТИ СТАЦИОНАРНОГО ВРАЩЕНИЯ КАРУСЕЛЬНОГО ГИДРОКАНАЛА

Г. К. Пожарецкий

(Москва)

Для решения озаглавленной задачи используется схема, близкая к схеме ротора на гибком валу [1].

Вообразим систему координат  $x, y, z$  с началом в неподвижной точке  $O$  и вертикальной осью  $z$ , вращающуюся с постоянной угловой скоростью  $\omega$  вокруг этой оси, и ротор — тяжелое твердое тело, — стесненное идеальными голономными связями, могущее совершать поступательные перемещения по отношению к этой системе.

Пусть ротор имеет цилиндрическую полость с осью (фигура), параллельной оси  $z$ , радиусом  $R$  и высотой  $H$ , частично заполненную жидкостью плотности  $\sigma$ , тяжелой и несжимаемой. Предположим, что некая точка  $A$  ротора удерживается идеальной связью на постоянном расстоянии  $l$  от точки  $O$  и что в точке  $A$  приложена сила  $F$ , направленная из точки  $A$  к оси  $z$  перпендикулярно к ней, пересекающая эту ось в точке  $P$  и пропорциональная  $AP$ .

Вообразим ротор, целиком заполненный жидкостью, и обозначим через  $m$  массу системы, через  $b$  — проекцию ее центра тяжести  $B$  на плоскость  $xy$  и зададим положение  $G'$  в этой плоскости полярными координатами  $r, \varphi$ .

Пусть  $a$  — проекция точки  $A$  на плоскость  $xy$ , а ось  $x$  выбрана параллельной отрезку  $ba$ , имеющему постоянную длину  $e$ . Тогда координаты  $a$  будут

$$x_a = r \cos \varphi + e, \quad y_a = r \sin \varphi$$

Если система жидкость-ротор находится в относительном равновесии  $r_0, \varphi_0$ , то свободная поверхность жидкости имеет формулу параболоида

$$z = \frac{\omega^2}{2g} (x^2 + y^2) = \alpha \quad (1)$$

